



## تأثیر پمپاژ فونون بر میرایی دینامیک پادفرومنگناطیس

مجید شیردل هاور و بابک زارع\*

دانشکده فیزیک، دانشگاه علم و صنعت ایران

پست الکترونیکی: bzarer@iust.ac.ir

(دریافت مقاله: ۱۴۰۱/۱/۱۴؛ دریافت نسخه نهایی: ۱۴۰۱/۳/۸)

### چکیده

دینامیک یک عایق پادفرومنگناطیس متصل به یک عایق غیرمنگناطیسی مورد بررسی قرار گرفته است. پمپاژ فونون‌ها به وسیله دینامیک منگناطش از یک پادفرومنگناطیس به یک عایق غیرمنگناطیسی مجاور که با انتقال تکانه زاویه‌ای همراه است منجر به افزایش میرایی می‌شود. علاوه بر این، نتایج نشان می‌دهد که جفت‌شدگی قوی بین دینامیک منگناطش و امواج کشسانی، جایی که قدرت جفت‌شدگی خیلی بزرگ‌تر از اتصال هر دو زیرسامانه می‌شود، به صورت دافعه ترازی در طیف جذبی پادفرومنگناطیس قابل مشاهده است.

**واژه‌های کلیدی:** جفت‌شدگی مغناطوکشسانی، مگنون-پولارن، پمپاژ فونون، میرایی پادفرومنگناطیس.

### ۱. مقدمه

ترابردی این مواد را تحت تأثیر قرار خواهد داد. بیش از چندین دهه است که جفت‌شدگی مغناطوکشسانی به صورت نظری پیشنهاد شده [۵-۷]، با این حال اخیراً در آزمایش‌های اثر سیبک اسپینی<sup>۱</sup> (جريان اسپینی ایجاد شده در پاسخ به یک گرادیان دمایی اعمال شده) و همین طور اثر پلتیر اسپینی<sup>۲</sup> (جريان گرمایی تولید شده به دلیل اعمال ولتاژ اسپینی) در گارنت آهن ایتریوم<sup>۳</sup> که یک عایق فرومنگناطیسی است، مشاهده شده‌اند [۸-۱۲]. جفت‌شدگی مغناطوکشسانی علاوه بر عایق‌های فرومنگناطیس، در مواد پادفرومنگناطیس نیز به صورت نظری

۱. Spin Seebeck effect

۲. Spin Peltier effect

۳. Yttrium Iron Garnet (YIG)

دینامیک منگناطش و نوسانات شبکه بلوری (امواج کشسانی) به واسطه جفت‌شدگی مغناطوکشسانی در مواد منگناطیسی، می‌توانند متأثر از همدیگر باشند. برهم‌کنش مگنون، کوانتای نظم منگناطیسی، و فونون، کوانتای امواج کشسانی، در رژیم جفت‌شدگی قوی، جایی که قدرت برهم‌کنش میان آن دو خیلی بیشتر از نرخ اتصال هر یک از آنهاست، منجر به شکل‌گیری شبه‌ذره مگنون-پولارن می‌شود [۴-۶]. پراکندگی مگنون‌ها و فونون‌ها در عایق‌های منگناطیسی به واسطه شکل‌گیری مگنون-پولارن‌ها می‌تواند دستخوش تغییر شده که به نوبه خود، خواص

برهمکنش میان یک سامانه فرومغناطیسی به شکل کره با یک کاواک موج ماکرو و امکان دستیابی به رژیم جفت‌شدگی قوی میان مگنون و فوتون مورد بررسی قرار گرفته است و نشان داده شده که قدرت جفت‌شدگی متناسب با جذر حجم کره فرومغناطیس است [۲۵]. اما تأثیر جفت‌شدگی مگنون و فونون و انتقال تکانه زاویه‌ای فونونی در میرایی و همین‌طور جذب تشدید پادفرومغناطیس (AFMR) در ساختاری چندلایه مت Shank از عایق پادفرومغناطیس و عایق غیرمغناطیسی مورد بررسی قرار نگرفته است. در این پژوهش، به بررسی تأثیر جفت‌شدگی مگنون و فونون بر روی میرایی دینامیک یک عایق پادفرومغناطیس متصل به یک عایق غیرمغناطیسی و همچنین جذب AFMR می‌پردازیم. نتایج حاکی از یک میرایی اضافی در دینامیک پادفرومغناطیس، به دلیل جفت‌شدگی مغناطوکشسانی است که مقدار آن متناسب با ضخامت لایه پادفرومغناطیس تغییر می‌کند. علاوه بر این، چندین دافعه ترازی در طیف جذب AFMR مشاهده می‌شود که نمایانگر دستیابی به رژیم جفت‌شدگی قوی و شکل‌گیری مگنون-پولارن است.

## ۲. پیکربندی و شرح فرمول بندی

یک ساختار دولایه شامل یک عایق پادفرومغناطیس به ضخامت  $d$  و یک عایق غیرمغناطیسی نیمه بی‌نهایت را همان طور که در شکل ۱ نشان داده شده، در نظر می‌گیریم.

انرژی آزاد این ساختار دولایه پادفرومغناطیس-عایق غیرمغناطیسی عبارت است از:

$$\mathcal{U} = \mathcal{U}_{mag} + \mathcal{U}_{el} + \mathcal{U}_{mec}, \quad (1)$$

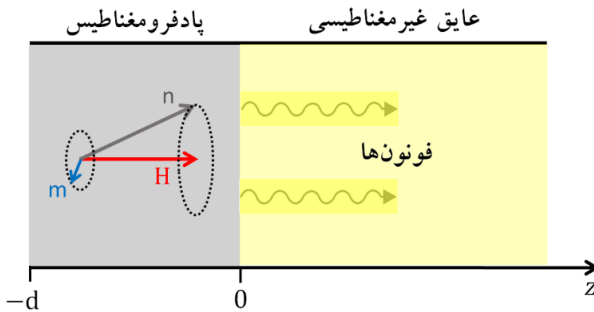
که  $\mathcal{U}_{mag}$  انرژی مغناطیسی،  $\mathcal{U}_{el}$  انرژی کشسانی و  $\mathcal{U}_{mec}$  انرژی مغناطوکشسانی هستند. پادفرومغناطیس دو زیرشکه با مغناطش‌های  $\mathbf{M}_a$  و  $\mathbf{M}_b$  دارد. دینامیک پادفرومغناطیس در حد پیوستار (حد طول موج-بلند) معمولاً با استفاده از دو بردار مغناطش  $\mathbf{M} = (\mathbf{M}_a + \mathbf{M}_b)/2 = |\mathbf{M}| \mathbf{m}$

نیل<sup>۱</sup>  $\mathbf{L} = (\mathbf{M}_a - \mathbf{M}_b)/2 = |\mathbf{L}| \mathbf{n}$  توصیف می‌شود، که  $\mathbf{m}$  و  $\mathbf{n}$  در دو شرط  $\mathbf{m} \cdot \mathbf{n} = 0$  و  $|\mathbf{m}|^2 + |\mathbf{n}|^2 = 1$  صدق می‌کنند. انرژی

بررسی شده [۱۳ و ۱۴] و یک ناهنجاری در اثر سیبیک اسپینی که ناشی از شکل‌گیری مگنون-پولارن‌ها است نیز به صورت تجربی مشاهده شده است [۱۵].

مواد پادفرومغناطیس به دلیل دینامیک اسپینی فوق‌سریع که در محدوده تراهertz و زیر-تراهertz قرار دارند مزایای منحصر به‌فردی نسبت به فرومغناطیس‌ها برای کاربردهای بالقوه در دستگاه‌های نانومقایس اسپیترونیکی بسیار سریع ارائه می‌کنند [۱۶-۱۹]. با این وجود، ترابرد بلند-برد تکانه زاویه‌ای اسپینی یکی از چالش‌های اصلی در کارایی ابزارهای اسپیترونیکی است. در همین راستا، فونون‌ها به دلیل توانایی حمل تکانه زاویه‌ای و همچنین میرایی کشسانی بسیار پایین، می‌توانند نقشی اساسی و مهم در افزایش طول ترابرد اسپین در مواد مغناطیسی ایفاء کنند. نتایج تحقیقات تجربی [۲۰] و نظری [۲۱-۲۳] اخیر نشان می‌دهد که تکانه زاویه‌ای اسپینی می‌تواند در یک عایق غیرمغناطیسی به طول چند میکرومتر منتقل شود. این انتشار بلند-برد به دلیل جفت‌شدگی مگنون و فونون از طریق جفت‌شدگی مغناطوکشسانی است.

یک تحقیق نظری نشان داده که برهمکش بین مگنون و فونون باعث اباحت تکانه زاویه‌ای فونونی در فصل مشترک یک ساختار سه لایه‌ای فرومغناطیس، عایق غیرمغناطیس و فرومغناطیس می‌شود، که نهایتاً می‌تواند منجر به یک جریان اسپینی غیرموضعی بلند-برد بین دو فرومغناطیس در مقیاس میلی‌متر شود [۲۲]. علاوه بر این، به صورت تجربی نشان داده شده که دینامیک مغناطش دو فرومغناطیس در این ساختار سه‌لایه به واسطه انتقال تکانه زاویه‌ای فونونی می‌تواند به یکدیگر جفت شوند [۲۰]. از طرف دیگر، شکل‌گیری مگنون-پولارن‌ها در عایق‌های فرومغناطیس، به صورت دافعه ترازی در طیف جذب تشدید فرومغناطیس (FMR) مشاهده شده است [۲۱ و ۲۰]. نتایج یک تحقیق پیش‌بینی می‌کند که پمپاژ تکانه زاویه‌ای فونونی از یک فرومغناطیس به یک عایق غیرمغناطیسی منجر به یک میرایی اضافی، علاوه بر میرایی ذاتی فرومغناطیس، می‌شود [۲۴].



شکل ۱. ساختاری دولایه متشکل از یک پادفرومغناطیس (سمت چپ) با بردار مغناطیس  $m$  و بردار نیل  $n$  متصل به یک عایق غیرمغناطیسی (سمت راست).

که  $B_{\perp} = \delta_{\alpha\beta}B_{\parallel} + (1 - \delta_{\alpha\beta})B_{\perp}$  ثابت‌های مغناطیسکسانی هستند.  $V$  حجم لایه پادفرومغناطیس است.

دینامیک بردارهای  $m$  و  $n$  با استفاده از معادله لانداو-

لیفشتیز-گیلبرت توصیف می‌شود

$$\dot{m} = -\gamma\mu_0(\mathbf{m} \times \mathbf{H}_{\text{eff},m} + \mathbf{n} \times \mathbf{H}_{\text{eff},n}) + \alpha_G(\mathbf{m} \times \dot{\mathbf{m}} + \mathbf{n} \times \dot{\mathbf{n}}), \quad (5)$$

$$\dot{n} = -\gamma\mu_0(\mathbf{n} \times \mathbf{H}_{\text{eff},n} + \mathbf{n} \times \mathbf{H}_{\text{eff},m}) + \alpha_G(\mathbf{n} \times \dot{\mathbf{n}} + \mathbf{n} \times \dot{\mathbf{m}}), \quad (6)$$

که  $\gamma$  نسبت ژیرومغناطیس و  $\alpha_G$  ثابت میرایی ذاتی (گیلبرت)

است. همچنین  $\mathbf{H}_{\text{eff},m(n)} = \frac{-\nabla_{m(n)}\mathcal{U}}{\mu_0 VM_s}$  میدان مغناطیسی مؤثر

است که شامل سهم مغناطیسی

$\mathbf{H}_{\text{mag},m(n)} = -\nabla_{m(n)}\mathcal{U}_{\text{mag}}/(\mu_0 VM_s)$

است، که در آن  $\mathbf{H}_{\text{mec},m(n)} = -\nabla_{m(n)}\mathcal{U}_{\text{mec}}/(\mu_0 VM_s)$

مجموع مغناطیس اثبات دو زیر شبکه  $a$  و  $b$

است. با توجه به رابطه (۲)،  $\mathbf{H}_{\text{mag},m(n)}$  به صورت زیر به

دست می‌آید:

$$\mathbf{H}_{\text{mag},m} = -\frac{\lambda}{\gamma\mu_0}\mathbf{m} + \mathbf{n} \times (\mathbf{H} \times \mathbf{n}), \quad (7)$$

$$\mathbf{H}_{\text{mag},n} = \frac{\nu}{\gamma\mu_0}\nabla^2\mathbf{n} - \mathbf{m}(\mathbf{H} \cdot \mathbf{n}) + \frac{K}{\gamma\mu_0}n_z\hat{\mathbf{z}}. \quad (8)$$

با توجه به این که میدان مغناطیسی خارجی اعمالی در امتداد محور-آسان<sup>۱</sup> (جهت  $z$ ) پادفرومغناطیس است، می‌توان بردارهای  $\mathbf{m}$  و  $\mathbf{n}$  را به صورت  $\mathbf{m} = \delta\mathbf{m}$  و  $\mathbf{n} = \hat{\mathbf{z}} + \delta\mathbf{n}$  در نظر گرفت که در آن  $\delta\mathbf{m} = m_x\hat{\mathbf{x}} + m_y\hat{\mathbf{y}}$  و  $\delta\mathbf{n} = n_x\hat{\mathbf{x}} + n_y\hat{\mathbf{y}}$  مولفه‌های نوسانی و کوچک هستند. در نتیجه، انرژی

مغناطیسی که شامل انرژی‌های برهم‌کنش تبادلی، ناهمسانگردی مغناطیسی و میدان مغناطیسی خارجی است با این فرض که میدان مغناطیسی خارجی در جهت  $z$  باشد، با رابطه زیر داده می‌شود [۱۴]:

$$\mathcal{U}_{\text{mag}} = \frac{M_s}{\gamma} \int \left( \frac{\lambda}{2} \mathbf{m}^2 + \frac{\nu}{2} [\nabla \mathbf{n}]^2 - \gamma\mu_0 \mathbf{H} \cdot \mathbf{m} - \frac{K}{2} n_z^2 \right) dV, \quad (9)$$

که  $\lambda$  و  $\nu$  به ترتیب ثابت تبادل بین-و درون-شبکه‌ای،  $K$  ثابت ناهمسانگردی و  $\mathbf{H}$  میدان مغناطیسی خارجی است. انرژی کشسانی یک پادفرومغناطیس عبارت است از [۱۴]:

$$\mathcal{U}_{\text{el}} = \frac{1}{2} \sum_{\chi} \rho_{\chi} \dot{\mathbf{R}}_{\chi} \cdot \dot{\mathbf{R}}_{\chi} + \frac{1}{2} \left[ \sum_{\chi} \sum_{\alpha=x,y,z} \sqrt{\lambda_{\chi}} S_{\chi,\alpha\alpha} \right] + \sum_{\chi} \sum_{\alpha\beta=x,y,z} \left( \sqrt{\mu_{\chi}} S_{\chi,\alpha\beta} \right)^2 + \frac{1}{2} f^* (\mathbf{R}_b - \mathbf{R}_a)^2, \quad (10)$$

که  $\mathbf{R}$  بردار جابه‌جایی از موقعیت تعادلی،  $\rho_{\chi}$  چگالی زیر شبکه  $\chi$  با  $\chi = a, b$ ،  $f^*$  ثابت نیروی نزدیک‌ترین همسایه،  $\lambda_{\chi}$  و  $\mu_{\chi}$  ثابت‌های کشسانی برای زیرشبکه مربوطه و  $S_{\chi,\alpha\beta}(\mathbf{r}) = \frac{1}{2} \left( \frac{\partial R_{\chi,\alpha}(\mathbf{r})}{\partial r_{\beta}} + \frac{\partial R_{\chi,\beta}(\mathbf{r})}{\partial r_{\alpha}} \right)$  تانسور کرنش است. در حد طول موج-بلند، انرژی مغناطیسکسانی که جفت‌شدنگی مغناطیش با شبکه بلوری را توصیف می‌کند، برای یک پادفرومغناطیس با رابطه زیر داده می‌شود [۱۳]:

$$\mathcal{U}_{\text{mec}} = \sum_{\alpha,\beta} \int_V B_{\alpha\beta} n_{\alpha}(\mathbf{r}) n_{\beta}(\mathbf{r}) S_{\alpha\beta}(\mathbf{r}) dV, \quad (11)$$

<sup>۱</sup>. Easy-axis

می شود) در دو فصل مشترک  $z=0$  و  $z=-d$  محاسبه می شوند.

انرژی مغناطیکشسانی  $\mathcal{U}_{mec}$  منجر به ایجاد یک نیروی برشی سطحی  $\mathbf{N} = -\nabla_{R_\pm(z)} \mathcal{U}_{mec}$  می شود که در فصل مشترک  $N_\pm(0) = -N_\pm(-d) = -B_\perp A n_\pm$  محاسبه می شود. این نیروها منجر به تولید یک چگالی جریان تکانه عرضی  $(z) = -\mu(z) R'_\pm(z)$  در جهت  $z$  می شوند [۲۴]، که در آن  $\mu$  مدول برشی<sup>۱</sup> و برای لایه های غیرمغناطیسی و پادفرومغناطیسی به ترتیب با  $\mu = \rho c_\perp^2$  و  $\mu = \tilde{\rho} \tilde{c}_\perp^2$  تعریف می شود و  $\mu$  چگالی جرمی متناظر است. ارتباط بین چگالی جریان تکانه عرضی با تکانه خطی عرضی، با توجه به معادله نیوتون با رابطه  $(z) = -\frac{\partial}{\partial z} j_\pm(z)$  تعریف می شود. بنابراین، شرایط مرزی مورد نیاز برای پیوستگی  $R_\pm$  و پایستگی تکانه خطی مگنونی در دو فصل مشترک با روابط زیر داده می شوند:

$$R_\pm(0^+) = R_\pm(0^-), \quad (14.\text{ الف})$$

$$j_\pm(-d) = B_\perp n_\pm, \quad (14.\text{ ب})$$

$$j_\pm(0^+) - j_\pm(0^-) = -B_\perp n_\pm, \quad (14.\text{ ج})$$

اکنون با استفاده از این شرایط مرزی، برای ضرایب  $A_\pm$ ،  $B_\pm$  و  $C_\pm$  در رابطه (۱۳) به دست می آوریم:

$$B_\pm = \frac{B_\perp n_\pm}{\tilde{\mu} i \tilde{k}} \left( e^{i \tilde{k} d} - \mathcal{N} e^{-i \tilde{k} d} \right), \quad (15.\text{ الف})$$

$$A_\pm = \mathcal{N} B_\pm, \quad (15.\text{ ب})$$

$$C_\pm = A_\pm + B_\pm, \quad (15.\text{ ج})$$

که  $\mathcal{N} = -\frac{\mu k - \tilde{\mu} \tilde{k} \left( e^{i \tilde{k} d} - 1 \right)}{\mu k + \tilde{\mu} \tilde{k} \left( e^{-i \tilde{k} d} - 1 \right)}$  با جایگذاری  $R_\pm$  در رابطه (۱۱) و مشتقگیری زمانی از طرفین رابطه، داریم:

$$\ddot{m}_\pm = \pm \left( K - \nabla^2 \right) \dot{m}_\pm \pm i H \cdot \dot{m}_\pm \pm i \alpha_G \ddot{n}_\pm \pm \frac{i \omega_{mec}}{d} (\mathcal{A} + \mathcal{B}) \dot{n}_\pm, \quad (16)$$

که  $\mathcal{A} = A_\pm \left( 1 - e^{-i \tilde{k} d} \right) / n_\pm$  در آن و  $\mathcal{B} = B_\pm \left( 1 - e^{i \tilde{k} d} \right) / n_\pm$  با استفاده از رابطه (۱۲) می توان

مغناطیکشسانی برای لایه پادفرومغناطیس از رابطه زیر به دست می آید:

$$\mathcal{U}_{mec} = B_\perp A \sum_{\alpha=x,y} n_\alpha \left[ R_\alpha(0) - R_\alpha(-d) \right], \quad (19)$$

که  $A$  سطح مقطع لایه پادفرومغناطیس است، بنابراین داریم (۱۰. الف)

$$\mathbf{H}_{mec,m} = 0,$$

$$\mathbf{H}_{mec,n} = -\frac{\omega_{mec}}{\gamma \mu_0 d} \left( \mathcal{R}_x \hat{\mathbf{x}} + \mathcal{R}_y \hat{\mathbf{y}} \right), \quad (10.\text{ ب})$$

که  $\mathcal{R}_{x(y)}(0) - R_{x(y)}(-d)$  و  $\omega_{mec} = \gamma B_\perp / M_s$  با جایگذاری  $\mathbf{H}_{eff,m(n)} = \mathbf{H}_{mag,m(n)} + \mathbf{H}_{mec,m(n)}$  در روابط (۵) و (۶) و با در نظر گرفتن میدان مغناطیسی خارجی به صورت  $\mathbf{H} = (h_x \hat{\mathbf{x}} + h_y \hat{\mathbf{y}}) e^{-i \omega t} + \mathbf{H} \hat{\mathbf{z}}$  که در آن  $h$  یک میدان نوسانی کوچک است، داریم:

$$\dot{m}_\pm = \pm \left( K - \nabla^2 \right) i m_\pm \pm i H \cdot m_\pm \pm i \alpha_G \dot{n}_\pm \pm \frac{i \omega_{mec}}{d} \left[ R_\pm(0) - R_\pm(-d) \right], \quad (11)$$

$$\dot{n}_\pm = \pm (K + \lambda) i m_\pm \pm i H \cdot n_\pm \pm i \alpha_G \dot{m}_\pm \mp i h_\pm, \quad (12)$$

که در آن  $H \equiv \gamma \mu_0 H$ . شایان ذکر است که با توجه به تقارن دورانی حول محور  $z$ ، هر یک از پارامترهای  $n_\pm$ ،  $m_\pm$  و  $h_\pm$  در رابطه ای مشابه با  $q_\pm = q_x \pm i q_y$  صدق می کنند. پادفرومغناطیس ها در میدان های مغناطیسی کمتر از میدان بحرانی، که در آن گذار فاز به حالت وارونگی اسپین اتفاق می افتد، دو ویژه حالت مگنونی دارند که علامت + و - به ترتیب مربوط به مد چپگرد و مد راستگرد هستند [۲۶ و ۲۷].

با رابطه زیر داده می شود:  $R_\pm$

$$R_\pm(z,t) = \begin{cases} A_\pm e^{i \tilde{k} z - i \omega t} + B_\pm e^{-i \tilde{k} z - i \omega t} & -d < z < 0 \\ C_\pm e^{i \tilde{k} z - i \omega t} & z > 0, \end{cases} \quad (13)$$

با بردارهای موج فونونی  $c_\perp(k(\omega)) = \sqrt{\omega^2 + 4i\eta\omega}$  و  $\tilde{c}_\perp(k(\omega)) = \sqrt{\omega^2 + 4i\tilde{\eta}\omega}$  سرعت کشسانی عرضی و ثابت میرایی کشسانی در لایه پادفرومغناطیس (غیرمغناطیسی) هستند. ضرایب  $A_\pm$ ،  $B_\pm$  و  $C_\pm$  با استفاده از شرایط مرزی مناسب، یعنی پیوستگی  $R_\pm$  و پایستگی چگالی جریان تکانه عرضی  $j_\pm$  (که در ادامه معرفی

<sup>۱</sup>. Shear modulus

استفاده از رابطه (۱۲)، معادله حرکت مغناطش برای این پیکربندی حاصل می‌شود

$$\begin{aligned} & \left\{ (\omega \pm H_0) + i\omega \alpha_G (\gamma K + \lambda - \nu \nabla^2) \right. \\ & - (K + \lambda)(K - \nu \nabla^2) \\ & - (K + \lambda - i\omega \alpha_G)(\mathcal{E} + \mathcal{F}) \omega_{mec} / d \left. \right\} m_{\pm} \\ & = - [K + (\mathcal{E} + \mathcal{F}) \omega_{mec} / d - i\omega \alpha_G] h_{\pm}, \end{aligned} \quad (۲۲)$$

و  $\mathcal{E} = E_{\pm} (1 - e^{-ikd}) / n_{\pm}$  آن در که استفاده از رابطه  $P_{abs} \propto \text{Im}(h^* m)$  به دست آورد [۲۰ و ۲۱].

### ۳. بحث و نتایج

به دلیل وجود جفت‌شدگی مغناطوکشسانی، دینامیک مغناطش در پادفرومغناطیس می‌تواند منجر به برانگیختی فونون‌ها شود. پمپاژ این فونون‌ها به عایق غیرمغناطیسی مجاور با پادفرومغناطیس که با انتقال تکانه زاویه‌ای همراه است می‌تواند منجر به یک میرایی اضافی در دینامیک پادفرومغناطیس شود و همچنین می‌تواند جذب AFMR را نیز دست‌خوش تغییر کند. به منظور بررسی تأثیر جفت‌شدگی مغناطوکشسانی در میرایی دینامیک پادفرومغناطیس و همین طور در طیف جذبی، برای عایق پادفرومغناطیس  $\text{Cr}_2\text{O}_3$  به ضخامت ۲۰۰ نانومتر و برای عایق غیرمغناطیسی گارنت گالیم گادولینیم<sup>۱</sup> (GGG) با ضخامت نیمه بی‌نهایت انتخاب شده است. برای ماده  $\text{Cr}_2\text{O}_3$ ، پارامترهای  $M_s = ۲/۶۴ \times 10^5 \text{ A/m}$  استفاده شده عبارتند از:  $\tilde{\eta} \approx ۲/۲ \times 10^6 \text{ s}^{-1}$ ،  $B_{\perp} = ۲/۸۲ \times 10^6 \text{ J/m}^3$ ،  $\alpha_G \approx ۱0^{-4}$ ،  $\tilde{c}_{\perp} = ۴۸۹۰ \text{ m/s}$  و  $\tilde{\rho} = ۵۲۰ \text{ kg/m}^3$ . میرایی دینامیک مغناطش به دلیل وجود

$\hat{n}$  و  $\hat{n}$  را در رابطه (۱۶) حذف کرد. در فضای بسامد با توجه به  $\dot{m}_{\pm} = -i\omega m_{\pm}$  و صرف نظر از جملات متناسب با داریم:

$$\begin{aligned} \ddot{m}_{\pm} &= \left\{ i\omega \alpha_G (\gamma K + \lambda - \nu \nabla^2) \right. \\ & \pm \gamma \omega H_0 + H_0 \left. \gamma - (K + \lambda)(K - \nu \nabla^2) \right\} \\ & - (K + \lambda - i\omega \alpha_G)(\mathcal{A} + \mathcal{B}) \omega_{mec} / d \left. \right\} m_{\pm} \\ & + [K + (\mathcal{A} + \mathcal{B}) \omega_{mec} / d - i\omega \alpha_G] h_{\pm}, \end{aligned} \quad (۱۷)$$

با مقایسه جمله مربوط به میرایی ذاتی پادفرومغناطیس  $i\omega \alpha_G$  و بخش موهومی جمله مربوط به جفت‌شدگی مغناطوکشسانی، می‌توان سهم میرایی ناشی از این برهمنکش در دینامیک پادفرومغناطیس را به دست آورد

$$\begin{aligned} \alpha_{mec} &= -\frac{\omega_{mec}}{\omega d} \text{Im}(\mathcal{A} + \mathcal{B}) \\ & + \frac{\alpha_G \omega_{mec}}{(K + \lambda) d} \text{Re}(\mathcal{A} + \mathcal{B}), \end{aligned} \quad (۱۸)$$

به منظور محاسبه جذب تشدیدی در پادفرومغناطیس، لایه غیرمغناطیسی را با یک طول محدود  $L$  در نظر می‌گیریم. آن‌گاه برای  $R_{\pm}$  داریم:

$$R_{\pm}(z, t) = \begin{cases} E_{\pm} e^{ikz - i\omega t} + F_{\pm} e^{-ikz - i\omega t} & -d < z < 0 \\ C_{\pm} e^{ikz - i\omega t} + D_{\pm} e^{-ikz - i\omega t} & 0 < z < L, \end{cases} \quad (۱۹)$$

با توجه به رابطه  $N = -\nabla_{R_a(z)} \mathcal{U}_{mec}$ ، نیروی برش سطحی در مرز  $L$  برابر با صفر است؛  $N_{\pm}(L) = 0$ . در نتیجه علاوه بر شرایط مرزی (۱۴)، برای مرز  $L$  نیز داریم  $j_{\pm}(L) = 0$ . با توجه به این شرایط به دست می‌آوریم:

$$F_{\pm} = \frac{\mathcal{M} B_{\perp} n_{\pm}}{\tilde{\mu} ik}, \quad (۲۰\text{الف})$$

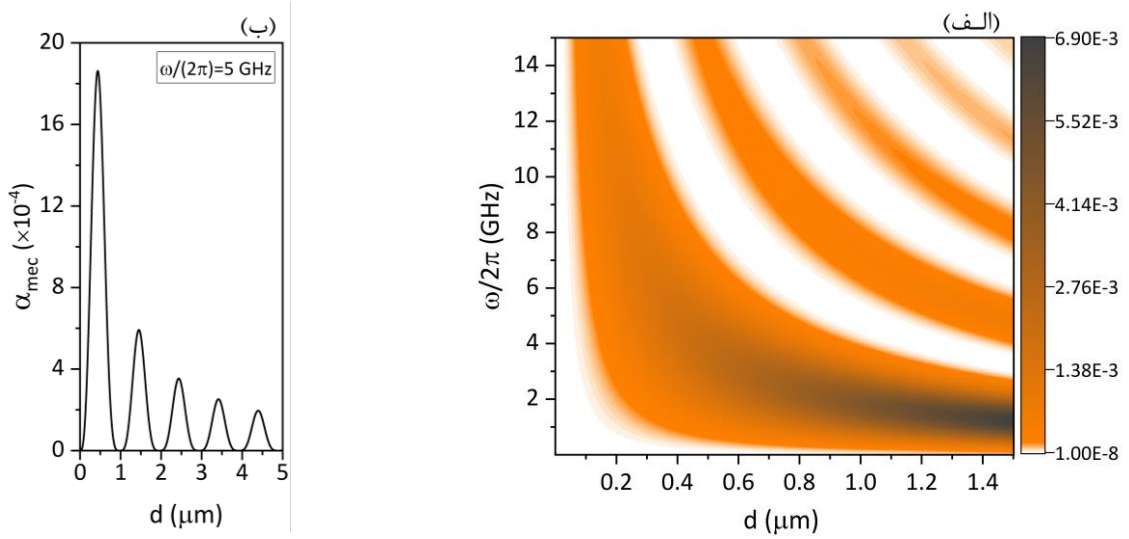
$$E_{\pm} = F_{\pm} e^{\gamma ikd} - \frac{B_{\perp} e^{ikd} n_{\pm}}{\tilde{\mu} ik}, \quad (۲۰\text{ب})$$

که در آن

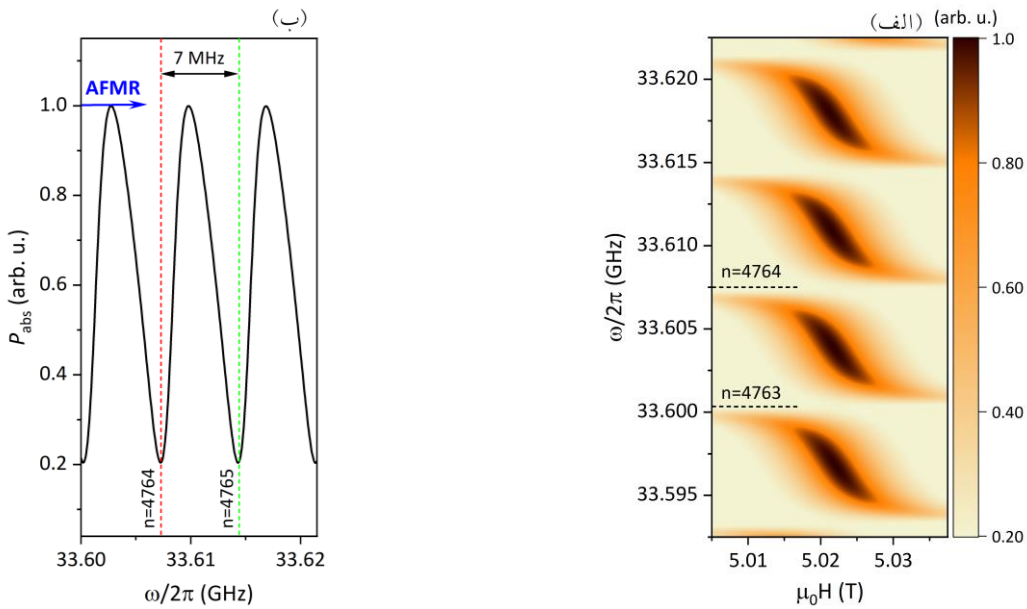
$$\begin{aligned} \mathcal{M} &= \left\{ (\mu ik - \tilde{\mu} ik) e^{ikd - \gamma ikL} - (\mu ik + \tilde{\mu} ik) e^{ikd} \right. \\ & + \tilde{\mu} ik \left( e^{-\gamma ikL} + 1 \right) \left. \right\} \times \left\{ (\mu ik - \tilde{\mu} ik) \left[ e^{\gamma ikd - \gamma ikL} - 1 \right] \right. \\ & + (\mu ik + \tilde{\mu} ik) \left[ e^{-\gamma ikL} - e^{\gamma ikd} \right] \left. \right\}^{-1}, \end{aligned} \quad (۲۱)$$

با این ضرایب  $E_{\pm}$  و  $F_{\pm}$ ، می‌توان  $R_{\pm}$  را در مرزهای لایه پادفرومغناطیس به دست آورد و با جایگذاری در رابطه (۱۱) و

<sup>۱</sup>. Gadolinium Gallium Garnet (GGG)



شکل ۲. (الف) سهم میرایی ناشی از جفت‌شدگی مغناطیک‌شسانی در دینامیک لایه پادفرومغناطیس  $\text{Cr}_2\text{O}_3$  به دلیل پمپاژ فونون به عایق غیرمغناطیسی GGG. و (ب) میرایی بر حسب ضخامت لایه پادفرومغناطیس و در یک بسامد ثابت  $\omega/2\pi = 5 \text{ GHz}$ .



شکل ۳. (الف) طیف جذب موج ماکرو برای لایه پادفرومغناطیس  $\text{Cr}_2\text{O}_3$  با ضخامت ۲۰۰ نانومتر متصل به یک عایق غیرمغناطیسی GGG با ضخامت ۲۵۰ میکرومتر و (ب) جذب موج ماکرو در راستای AFMR.

از یک لایه عایق پادفرومغناطیس به یک عایق غیرمغناطیسی منجر به یک میرایی اضافی در لایه پادفرومغناطیس شده است که ناشی از انتقال تکانه زاویه‌ای توسط فونون‌ها است. برخلاف میرایی ذاتی (گیلبرت)، میرایی ناشی از جفت‌شدگی مغناطیک‌شسانی وابسته به بسامد است. با افزایش ضخامت لایه

جفت‌شدگی مغناطیک‌شسانی، رابطه (۱۸)، بر حسب ضخامت لایه پادفرومغناطیس و بسامد در شکل ۲ ارائه شده است. بررسی نتایج نشان می‌دهد که سهم جمله دوم رابطه (۱۸) در میرایی دینامیک نسبت به جمله اول بسیار ناچیز و قابل صرف نظر کردن است. همان طور که مشاهده می‌شود، پمپاژ فونون‌ها

بسامدهای محدوده شکل ۳. الف در راستای AFMR چیگرد رسم شده است. قلهای و درهای نشان‌دهنده بیشینه و کمینه جذب هستند که به ترتیب مربوط به نقاط تیره و روشن در شکل ۳. الف هستند. شایان ذکر است، نقاط کمینه جذب مربوط به حالتی است که بسامد فونون و مگنون برابر می‌شود. فاصلهٔ بین دو کمینهٔ مجاور که برابر با اختلاف بسامد دو مد فونونی زوج و فرد است، متناسب با سرعت امواج کشسانی عرضی در GGG است و همان‌طور که در شکل ۳. ب نشان داده شده برابر با  $\omega_{ph,n} = c_{\perp}/(2(d+L)) \approx 7 MHz$  است.

#### ۴. نتیجه گیری

در این پژوهش، جفت‌شدگی دینامیک مغناطش و نوسانات شبکهٔ بلوری در یک ساختار دولایه شامل یک عایق پادفرو-مغناطیس متصل به یک عایق غیرمغناطیسی مورد بررسی قرار گرفت. پمپاژ فونون‌های تولید شده توسط دینامیک مغناطش، به واسطهٔ جفت‌شدگی مغناطوکشسانی، از لایهٔ پادفرو-مغناطیس به لایهٔ غیرمغناطیسی، که با انتقال تکانهٔ زاویه‌ای همراه است، می‌تواند منجر به یک میرایی اضافی  $\alpha_{mec}$  علاوه بر میرایی ذاتی (گیلبرت)  $\alpha_G$  برای دینامیک پادفرو-مغناطیس شود. نتایج نشان می‌دهد که میرایی ناشی از جفت‌شدگی مغناطوکشسانی  $\alpha_{mec}$  به معکوس ضخامت، پادفرو-مغناطیس و بسامد بستگی دارد و با افزایش تدریجی ضخامت، یک رفتار نوسانی همراه با کاهش اندازهٔ نشان می‌دهد. افزون بر این، طیف جذب موج ماکرو برای لایهٔ پادفرو-مغناطیس محاسبه شد که چندین دافعهٔ ترازی بین مدهای مگنونی و فونونی را که نمایانگر تحقق رژیم جفت‌شدگی قوی بین آن دو است، نشان می‌دهد.

پادفرو-مغناطیس، میرایی یک رفتار نوسانی و کاهشی دارد، به خصوص در بسامدهای بالاتر، این رفتار کاملاً مشهود است؛ همان‌طور که در شکل ۲. ب برای بسامد  $\omega = 5 GHz$  دیده می‌شود. این رفتار برای ضخامت ثابت پادفرو-مغناطیس و با افزایش تدریجی بسامد نیز قبل مشاهده است. بیشینه‌های (کمینه‌های) میرایی در بسامدهای تشیدی کشسانی،  $n \approx n_{ph,n} = \pi c_{\perp}/(2d)$  با فرد (زوج)، واقع شده‌اند.

علاوه بر این، طیف جذب موج ماکرو به عنوان ابزاری سودمند در مطالعه مواد مغناطیسی برای یک لایهٔ پادفرو-مغناطیس  $Cr_2O_3$  با ضخامت ۲۰۰ نانومتر متصل به یک عایق غیرمغناطیسی GGG با ضخامت ۲۵۰ میکرومتر، بر حسب میدان مغناطیسی اعمالی و بسامد در شکل ۳ ارائه شده است. چندین دافعهٔ ترازی بین مدهای مگنونی (خط مایل) و فونونی (خطوط افقی) در طیف جذبی پادفرو-مغناطیس مشاهده می‌شود، که نمایانگر تحقق رژیم جفت‌شدگی قوی بین مگنون و فونون است. بسامد مگنون‌ها در مد چیگرد با رابطهٔ  $\omega_{AFMR} = \sqrt{K(K+\lambda)} - H$  شده با رابطهٔ  $\omega_{ph,n} = 2\pi c_{\perp}/\lambda_{ph,n}$  داده می‌شود، که در آن  $\lambda_{ph,n} = 2(d+L)/n$  طول موج فونونی با شمارهٔ مد  $n$  است. در واقع، دافعهٔ ترازی جایی در طیف جذبی مشاهده می‌شود که بسامد فونون‌ها با بسامد مگنون‌ها برابر شود  $\omega_{ph,n} = \omega_{AFMR}$ . به عنوان مثال در  $T = 0.02 K$  ( $\mu_0 H = 5 GHz$ ) یا  $\lambda_{ph,n} = 105 nm$  مطابق با یک مد فرد با شمارهٔ مد  $n = 4763$  است، این دافعهٔ ترازی قابل مشاهده است. در شکل ۳. ب جذب موج ماکرو بر حسب

#### مراجع

1. S Streib, et al., *Phys. Rev. B* **99** (2019) 184442.
2. B Z Rameshti and R A Duine, *Phys. Rev. B* **99** (2019) 060402.
3. J Holanda, et al., *Nat. Phys.* **14** (2018) 500.
4. A Kamra, et al., *Phys. Rev. B* **91** (2015) 104409.
5. E Abrahams and C Kittel, *Phys. Rev.* **88** (1952) 1200.
6. C Kittel and E Abrahams, *Rev. Mod. Phys.* **25** (1953) 233.
7. C Kittel, *Phys. Rev.* **110** (1958) 836.
8. H Man, et al., *Phys. Rev. B* **96** (2017) 100406.
9. T Kikkawa, et al., *Phys. Rev. Lett.* **117** (2016) 207203.
10. L J Cornelissen, et al., *Phys. Rev. B* **96** (2017) 104441.

11. B Flebus, *et al.*, *Phys. Rev. B* **95** (2017) 144420.
12. R Yahiro, *et al.*, *Phys. Rev. B* **101** (2020) 024407.
13. H T Simensen, *et al.*, *Phys. Rev. B* **99** (2019) 064421.
14. S M Tabatabaei, R A Duine, and B Z Rameshti, *Phys. Rev. B* **104** (2021) 014432.
15. J Li, *et al.*, *Phys. Rev. Lett.* **125** (2020) 217201.
16. P Wadley, *et al.*, *Science* **351** (2016) 587.
17. D Kriegner, *et al.*, *Nat. Commun.* **7** (2016) 11623.
18. P Némec, *et al.*, *Nat. Phys.* **14** (2018) 229.
19. V Baltz, *et al.*, *Rev. Mod. Phys.* **90** (2018) 015005.
20. K An, *et al.*, *Phys. Rev. B* **101** (2020) 060407.
21. T Sato, *et al.*, *Phys. Rev. B* **104** (2021) 014403.
22. A Ruckriegel and R A Duine, *Phys. Rev. Lett.* **124** (2020) 117201.
23. X Zhang, G E Bauer, and T Yu, *Phys. Rev. Lett.* **125** (2020) 077203.
24. S Streib, H Keshtgar, and G E W Bauer, *Phys. Rev. Lett.* **121** (2018) 027202.
25. N Sanaye, B Zare and M Vahedi, *Iran. J. Phys. Res.* **88** (2021) 431.
26. J Li, *et al.*, *Nature* **578** (2020) 7793.
27. R Cheng, *et al.*, *Phys. Rev. Lett.* **113** (2014) 057601.
28. S Foner, *Phys. Rev.* **130** (1963) 183.
29. K D Belashchenko, *et al.*, *Appl. Phys. Lett.* **108** (2016) 132403.